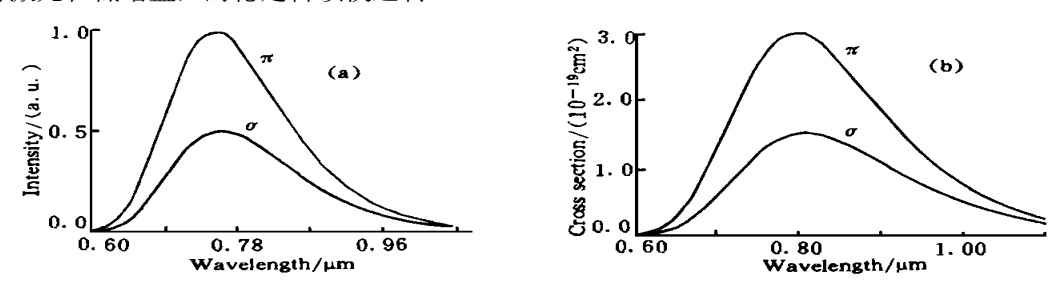
37 fs、0.94 Hm 钛宝石自锁模激光器的研究*

杨建军 毛艳丽 阮双琛 侯 洵 2中国科学院西安光学精密机械研究所18西安 71006814.

1 引 言

近年来18随着新型激光晶体的出现及自锁模技术的发展18固体激光器已逐渐成为飞秒激 光技术的主体19其中钛宝石晶体以其热传导好、荧光光谱宽260~1100 nm 14. 上能级寿命长 23.2 Hs 14等优点而成为固体激光晶体中的佼佼者[1] 19其荧光光谱线及增益曲线如图 1 所示 19. 利用钛宝石晶体作为激活介质18国外已成功地从振荡器直接产生了脉宽为 6.5 fs 的光脉 冲[2] 19国内18天津大学的王清月教授等人采用自调 0 加自锁模的方法18实现了输出脉冲宽度 为 4.8 fs 的新突破^[3] 19同时由于该晶体具有高的饱和通量 18使其作为激光放大介质 18目前已 实现了峰值功率为几十 TW、脉冲持续时间 < 20 fs 的高强度激光脉冲 [1] 19通常这些钛宝石自 锁模激光脉冲的工作波段大都集中在波长约为800 nm 附近的晶体的高增益区[5]19然而在一 些实际应用中18例如红外条纹相机的标定、半导体材料的研究等方面急需用 0.95 Hm 的红外 飞秒光源19这就要求进一步去开拓 Ti3+ A 12O3 光谱范围并实现短的光脉冲运转19事实上18在 增益峰值位于 800 nm 附近 18在波长约为 0.95 Hm 附近其增益很快下降 18约为峰值处的 1/319. 如此低的增益截面只能通过增加泵浦功率来得到部分补偿18然而泵浦功率最终要受到晶体破 坏阈值的限制 19另外 18随着泵浦功率的提高 18对于系统运转在 750~850 nm 之间时原可以忽 略的一些问题在此却显得尤为重要19例如(3)800 nm 处自发辐射的增强、由于晶体温度升高而 导致的热透镜现象以及其上能级寿命的减小等19这些因素最终会造成腔内激光量子效率的降 低18泵浦阈值的提高和输出激光功率的减弱[7]19因此18必须设法抑制其强谱线的振荡18增强 弱谱线在腔内的反射率20降低晶体吸收泵浦光而产生的热量并控制其为一恒定温度18方可获

得激光在低增益区的稳定自锁模运转19.



Fig·1 Fluorescence spectra & 14and calculated gain shape 4 14for Ti³+ 42 l2O3 crystal 本文研究了 Ti³+ 42 l2O3 晶体在低增益区内实现连续波及自锁模脉冲运转的情况 19.

2 试验装置

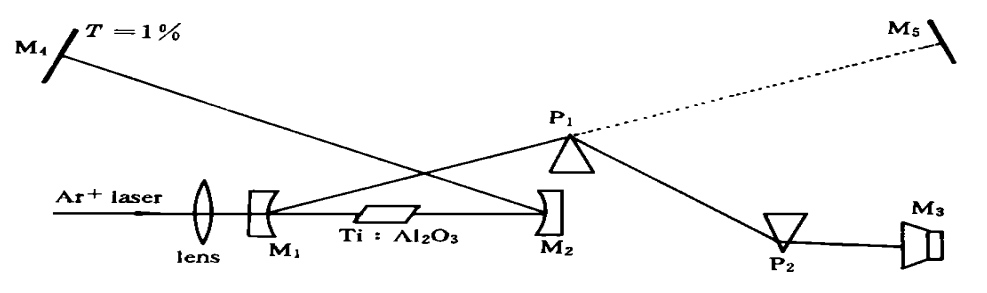


Fig. 2 Schematic diagram of experimental set-up

束将产生严重的像散19根据像散补偿原理和下面的公式[8]18.

$$2f \sin \theta_{\tan} \theta = \frac{\sqrt{7}n^2 - 1(6)}{n^4} \frac{\sqrt{n^2 + 1}}{n^4}$$
 71(6)

可以精确地计算出腔的折叠角为 $12\,^{9}P_{1}$ 、 P_{2} 为 ZF_{4} 棱镜对 18用于腔内色散补偿 18压缩脉宽 19. 对于通常的工作于高增益区的 T_{1}^{3+} 桑 $1_{2}O_{3}$ 激光器 18—般应用振动镜、量子阱、染料等方法来启动和维持锁模 19在本工作中则采用喇叭振动激光腔的一端镜 18获得了低增益区的红外激光飞秒锁模脉冲运转 19.

中国知网 https://www.cnki.net

353

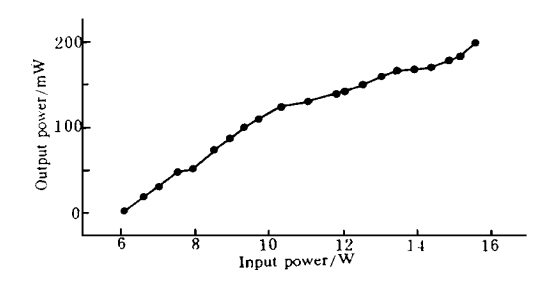
3 实验及其结果

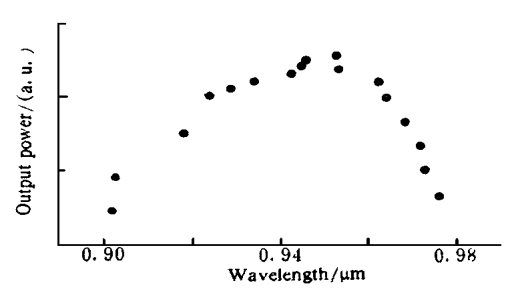
3.1 连续波运转

采用氫离子激光多线泵浦 18对于四镜腔结构和采用透过率为 1%的输出耦合镜 18该激光器在连续运转时的泵浦阈值为 5.8 w 19随着泵浦功率的增加 18输出功率也相应增大 19当泵浦功率为 15.5 w 时 18可获得 200 mw 的连续波输出 19图 3表示了连续波运转时所测得的输出与输入功率的关系 19.

3.2 波长调谐特性

在四镜腔内加入单个棱镜 18当氩离子激光器泵浦功率为 13 W 时 18调节输出端镜 18以改变腔内激光运转波长 19使用光栅单色仪和功率计 18测得连续波运转情况下该激光器的波长调谐特性曲线 18如图 4 所示 19其调谐范围为 0.90~0.97 Hm 18在试验中发现激光的波长调谐特性与泵浦功率也有关系 19.





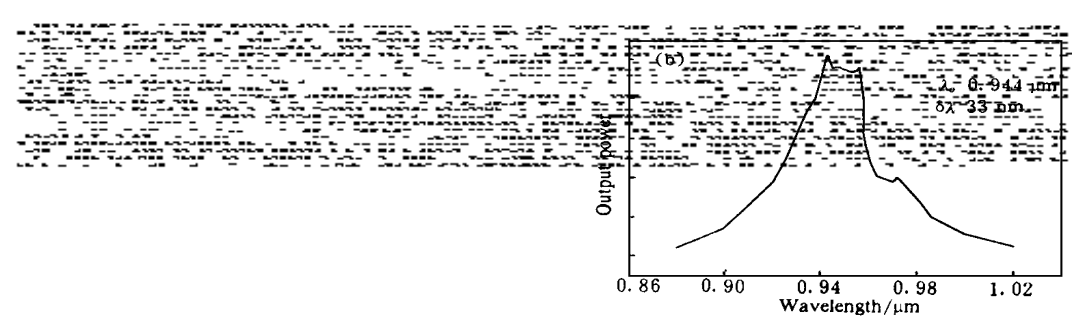
Fig·3 CW output power vs pump power

Fig. 4 Tunable range

3.3 锁模运转

为了实现激光器的锁模飞秒运转 18 在光腔内插入一棱镜对 12 、 19 适当调节其间距 18 使其所产生的负群速弥散量用来补偿腔内增益介质、腔镜和其它光学元件所产生的正的群速弥散量以及振荡光束在晶体内所产生的自相位调制量 18 PM 148 最终实现压缩腔内激光脉宽 19 此时腔长为 $^{1.85}$ m 18 在全反镜情况下 18 其泵浦阈值为 $^{7.3}$ W 19 当采用透过率为 19 的输出镜时 18 、泵浦阈值提高为 $^{8.9}$ W 19 当泵浦功率为 $^{14.5}$ W 时 18 用探测器观察其输出信号 18 调节棱镜插入的深度及凹面镜 18 与 13 + 14 18 18 19 为了启动和维持自锁模运转 18 将一端镜装在喇叭上使其振动 18 获得持续的锁模运转 19

用自相关仪测得其光脉冲宽度为 37 fs 18如图 5 4a 14新示 18并用光谱分析仪测得其光谱 18其



中国知网,https://www.cnki.net rig: 14The real-time scanning intensity autocorrelation trace 20.3 14The associated spectrum

光

参考文献

- [1] Moulton P F · Spectroscopic and laser characteristics of Ti $\triangle 203 \cdot J \cdot Opt \cdot Soc \cdot Am \cdot B = 125 \sim 133$
- [2] Jung I D ¹⁸Kartner F X ¹⁸Matuscher N et al·· Self-staring ^{6.5} fs pulses from KLM Ti燊apphire laser· Opt· Lett. (12) 1997 1822 213 14; 1009~1011
- [3] 刑歧荣 18张伟力 18王清月. 飞秒激光器的新突破. 光子学报 181996 1825 21 14: 96~97
- [4] C. P. J. Barty 18G. Korn 18F. Raksic et al.. Regenerative pulse shsping and amplification of ultra-broadband optical pulses. Opt. Lett. (12) 996 1821 23 14: 219~221
- [5] D. E. Spence. 60 fs pulses generation from a self-mode-locked Ti papphire laser. Opt. Lett. (12) 991 1816 21 14: 42~44
- [6] B. C. Stuart ¹⁸S. Herman ¹⁸M. D. Perny. Chirped-pulse amplification in Ti Apphire beyond ¹ Un. IEEE J. Quant. Electron. (12):1995 18QE-31 23 14: 528~538
- [7] A·Sanchez ¹⁸A·J·Strauss ¹⁸R·L·Aggarwal· Crystal growth ¹⁸spectroscopy ¹⁸and laser characteristics of Ti桑比O3·IEEE J·Quant·Electron.(12) 988 ¹⁸QE-24 25 14: 995~1002
- [8] H. W. Kogelnik 18E. P. Ippen. Astigmatically compensated cavities for CW dye lasers. IEEE. J. Quant. Electron. (12) 972 18QE-8 23 14: 373~379

37 fs Self-Mode-Locked Ti 蔡apphire Laser at 0.94 煽

Yang Jinajun Mao Yanli Ruan Shuangchen Hou Xun
7Xi'an Institute of Optics and Precision Machics 12 The Chinese Academy of Sciences 12 Xi'an 710068(6)
2Received 10 July 199720 revised 2 March 199814.

Abstract The shortest pulse duration ¹⁸to our knowledge ¹⁸from a Ti\$\tilde{8}\text{apphire} laser in low gain region is reported. Pumped by ^{8.9} W from the all-line of argon laser ¹⁸a stable laser pulse train centred at ^{0.94} Hm ¹⁸with pulse duration of ³⁷ fs ¹⁸. banwidth of ³³ nm ¹⁸average power of ⁸⁰ mW and a tuning range of ^{0.9} Hm to ^{0.976} Hm have been obtained.

Key words Ti燊apphire laser 18. self-mode-locking 18. femto second.